

Резонансное туннелирование и нелинейный ток в гетеробарьерах со сложным законом дисперсии носителей

© Ч.С. Ким[†], А.М. Сатанин[¶], В.Б. Штенберг

Нижегородский государственный университет им. Н.И. Лобачевского,
603600 Нижний Новгород, Россия

[†]Applied Physics, Yale University,

New Haven, Connecticut 06520-8284, USA

(Получена 16 октября 2001 г. Принята к печати 1 ноября 2001 г.)

Мы исследуем новые эффекты в резонансном туннелировании электронов в однобарьерной гетероструктуре GaAs/Al_xGa_{1-x}As/GaAs с учетом приложенного электрического смещения. Г–Х-смешивание электронных состояний на границах раздела ответственно за резонансы Фано в прозрачности барьера. Исследовано движение резонансов Фано и их взаимодействие с резонансами Брейта–Вигнера в электрическом поле. Рассчитана вольт-амперная характеристика гетеробарьера. Показано, что дифференциальная проводимость позволяет получить профиль резонанса Фано и определить его параметры.

1. Введение

В последние годы исследования электронного транспорта через однобарьерные полупроводниковые гетероструктуры (типа GaAs/Al_xGa_{1-x}As/GaAs) вызывают большой интерес [1–9]. С одной стороны, это связано с возможным применением таких гетероструктур для создания резонансных туннельных приборов; с другой стороны — в многодолинных гетероструктурах возможны интересные интерференционные явления, приводящие к возникновению необычной резонансной структуры прозрачности. Как известно, GaAs является прямозонным полупроводником, у которого минимум энергии электрона лежит в центре зоны Бриллюэна (в Г-точке). Соединение Al_xGa_{1-x}As становится непрямозонным полупроводником при изменении молярной концентрации Al (при $x > 0.45$) с минимумом вблизи точки X, лежащей на краю зоны Бриллюэна. Электронное туннелирование через структуру GaAs/Al_xGa_{1-x}As/GaAs может идти через два промежуточных состояния в барьере: каналы $\Gamma \rightarrow \Gamma \rightarrow \Gamma$ и $\Gamma \rightarrow X \rightarrow \Gamma$. При этом эффект смешивания состояний происходит на гетерогранице и характеризуется матричным элементом междолинного взаимодействия (Г–Х-смешивание) [10]. Интерференция Г–Х-состояний в барьере приводит к новым когерентным эффектам: к возникновению виртуального уровня в X-яме и формированию асимметричных резонансов в прозрачности (резонансов Фано [11]). В последнее время роль X-состояний в транспорте через Al_xGa_{1-x}As и свойства резонансов Фано привлекают большое внимание [5–7,12]. В практическом плане асимметричные резонансы могут приводить к возникновению отрицательных участков на вольт-амперной характеристике (ВАХ) барьера.

Сравнительно мало изучена ситуация, когда молярная концентрация Al в барьере такова, что энергия барьерного Г-минимума меньше энергии дна X-долины в кон-

тактных областях ($x < 0.63$). В этом случае при туннелировании в канале $\Gamma \rightarrow \Gamma \rightarrow \Gamma$ возможен надбарьерный резонанс (резонанс Брейта–Вигнера). Интерференция состояний в барьере означает эффективное взаимодействие резонансов Фано и Брейта–Вигнера [13,14]. Характером взаимодействия резонансов, и, следовательно, прозрачностью и туннельным током можно управлять, изменяя параметры системы: ширину барьера, молярную концентрацию Al (состав), давление, напряженность электрического поля и т.д.

В данной работе будут детально исследованы структура прозрачности и свойства резонансов Фано в барьерах со сложным законом дисперсии носителей в зависимости от геометрических параметров гетероструктуры и молярной концентрации Al. Будет изучено поведение асимметричных резонансов в сильном электрическом поле. Поскольку туннельный ток выражается интегрально через прозрачность барьера, а форма резонансов Фано существенно меняется в электрическом поле, необходимо выяснить, какой вклад дают резонансы в ВАХ. Мы найдем резонансный вклад в ВАХ барьера и проанализируем возможность определения параметров резонансов по нелинейной дифференциальной проводимости.

2. Модель гетероструктуры и метод вычисления прозрачности

Рассмотрим полупроводниковую гетероструктуру типа GaAs/Al_xGa_{1-x}As/GaAs, которая также может включать спейсерные и контактные слои. Пусть ось z выбрана вдоль направления туннелирования, а плоскости, ограничивающие гетеробарьер Al_xGa_{1-x}As, определяются условиями $z = \pm L/2$. В том случае, когда к структуре приложено смещение U , распределение потенциала может быть найдено из уравнения Пуассона-

[¶] E-mail: satanin@phys.unn.runnet.ru

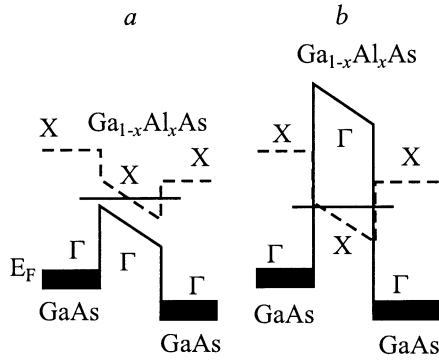


Рис. 1. Схематическое изображение зонной диаграммы гетеробарьера в сильном электрическом поле для молярных концентраций Al $x < 0.63$ (a) и $x > 0.63$ (b). Горизонтальная линия — положение виртуального уровня в X-яме.

на. Поскольку мы интересуемся резонансным вкладом в прозрачность и ВАХ, детали профиля потенциала могут определять только нерезонансный (потенциальный) вклад [15] и хорошим приближением может служить аппроксимация потенциала линейной функцией. Мы добавим в уравнение для огибающих потенциал вида $V(z) = -(eU/2) - Fz$, где $F = eU/D$, D — ширина структуры с учетом спейсеров (ширина барьера — L). На рис. 1 схематически показана энергетическая диаграмма гетероструктуры со сложным законом дисперсии, помещенной в электрическое поле. Мы предположим, что нелегированный барьер $\text{Al}_x\text{Ga}_{1-x}\text{As}$ окружен двумя нелегированными спейсерными слоями GaAs, которые сопряжены с легированными эмиттером и коллектором (n^+ -GaAs).

Туннельный ток может быть выражен интегрально через прозрачность барьера, которая позволяет также получить информацию о структуре резонансов. Прозрачность изучаемой структуры находится путем решения уравнения Шредингера в рамках модели эффективной массы для систем со сложным законом дисперсии носителей. Мы исследуем наиболее простую ситуацию, когда достаточно ограничиться учетом состояний двух долин. В работах [1,3] показано, что такой случай точно реализуется в определенном интервале молярной концентрации Al. Приблизненно двухдолинная модель также достаточно точно описывает основные черты резонансного туннелирования через гетеробарьер.

Пусть в объемном материале электрон может находиться в Γ - и X-долинах и описывается двухкомпонентной функцией (ψ_Γ, ψ_X) . Относительно внутренней области будем полагать, что барьер можно трактовать в рамках модели виртуального кристалла, вводя эффективные массы и зонные параметры как функции x согласно [16]. Смешивание состояний происходит только на границах и описывается матричным элементом $V_{\Gamma,X}$ [1]. Уравнения

для огибающих можно записать в виде

$$-\frac{\hbar^2}{2} \frac{\partial}{\partial z} \frac{1}{m_\Gamma} \frac{\partial \psi_\Gamma}{\partial z} + [E_\Gamma + V(z)] \psi_\Gamma + V_{\Gamma,X} \delta(z \pm L/2) \psi_X = E \psi_\Gamma, \quad (1)$$

$$-\frac{\hbar^2}{2} \frac{\partial}{\partial z} \frac{1}{m_X} \frac{\partial \psi_X}{\partial z} + [E_X + V(z)] \psi_X + V_{X,\Gamma} \delta(z \pm L/2) \psi_\Gamma = E \psi_X, \quad (2)$$

где $m_{\Gamma,X}$ и $E_{\Gamma,X}$ рассматриваются как функции координаты z .

Сначала обсудим более общую ситуацию, полагая, что энергия туннелирующего электрона может принадлежать как Γ -, так и X-долине. Решение в области эмиттера запишется в виде

$$\psi_\Gamma(z) = a_\Gamma e^{ik_\Gamma z} + b_\Gamma e^{-ik_\Gamma z}, \quad (3)$$

$$\psi_X(z) = a_X e^{ik_X z} + b_X e^{-ik_X z}, \quad (4)$$

где $k_\Gamma = \sqrt{2m_\Gamma E/\hbar^2}$, $k_X = \sqrt{2m_X(E - E_X)/\hbar^2}$. Решение в области коллектора:

$$\psi_\Gamma(z) = c_\Gamma e^{iq_\Gamma z}, \quad (5)$$

$$\psi_X(z) = c_X e^{iq_X z}, \quad (6)$$

где $q_\Gamma = \sqrt{2m_\Gamma(E + eU)/\hbar^2}$, $q_X = \sqrt{2m_X(E - E_X + eU)/\hbar^2}$.

Граничные условия получаются интегрированием уравнения (1) по малым окрестностям вблизи границ (по нормали к слою) [1]. Например, интегрирование (1) вблизи $z = L/2$ дает

$$\psi_\Gamma(L/2 + 0) = \psi_\Gamma(L/2 - 0), \quad \psi_X(L/2 + 0) = \psi_X(L/2 - 0),$$

$$\mu_\Gamma^R \frac{\partial \psi_\Gamma(L/2 + 0)}{\partial z} - \mu_\Gamma^L \frac{\partial \psi_\Gamma(L/2 - 0)}{\partial z} = v \psi_X(L/2),$$

$$\mu_X^R \frac{\partial \psi_X(L/2 + 0)}{\partial z} - \mu_X^L \frac{\partial \psi_X(L/2 - 0)}{\partial z} = v \psi_\Gamma(L/2), \quad (7)$$

где $\mu_{\Gamma,X} = m_0/m_{\Gamma,X}$, $v = (m_0/\hbar^2)V_{\Gamma,X}$, а параметры берутся слева (индекс L) и справа (индекс R) от границы раздела. Аналогично записываются граничные условия при $z = -L/2$. Эффект смешивания между электронными состояниями на гетерогранице определяет резонансную структуру прозрачности.

Нас будет интересовать многоканальная матрица прохождения t , которая выражает амплитуды волн (c_Γ, c_X) , прошедших барьер, через амплитуды падающих волн (a_Γ, a_X) . Матрица t позволяет определить прозрачность барьера, туннельный ток и исследовать резонансные состояния в барьере. Для вычисления t необходимо решить уравнения (1) с учетом потенциального поля внутри барьера и удовлетворить соответствующим граничным условиям на гетерограницах.

Мы разделим гетероструктуру на следующие участки: две контактные области n^+ -GaAs ($j = e, c$); два нелегированных спейсерных слоя GaAs, примыкающих

к контактам и барьеру; ($j = s, \Gamma$) и барьерная область $\text{Al}_x\text{Ga}_{1-x}\text{As}$ ($j = I$) (рис. 1, *a, b*). Поскольку потенциал линейно зависит от z , точное решение уравнения Шредингера в каждом слое может быть записано как линейная комбинация двух функций Эйри

$$\psi_\Gamma^j(z) = a_\Gamma^j \text{Ai}[-\xi_\Gamma^j(z)] + b_\Gamma^j \text{Bi}[-\xi_\Gamma^j(z)], \quad (8)$$

$$\psi_X^j(z) = a_X^j \text{Ai}[-\xi_X^j(z)] + b_X^j \text{Bi}[-\xi_X^j(z)], \quad (9)$$

где

$$\xi_\Gamma^j(z) = \frac{\Delta_\Gamma^j}{(\alpha_\Gamma^j)^{2/3}} + (\alpha_\Gamma^j)^{1/3} \frac{z}{a},$$

$$\alpha_\Gamma^j = 2m_\Gamma^j a^3 F / \hbar^2, \quad \Delta_\Gamma^j = 2a^2 m_\Gamma^j (E - E_\Gamma^j + eU/2) / \hbar^2,$$

$$\xi_X^j(z) = \frac{\Delta_X^j}{(\alpha_X^j)^{2/3}} + (\alpha_X^j)^{1/3} \frac{z}{a},$$

$$\alpha_X^j = 2m_X^j a^3 F / \hbar^2, \quad \Delta_X^j = 2a^2 m_X^j (E - E_X^j + eU/2) / \hbar^2,$$

а параметр длины a определяется характеристиками эмиттера (или коллектора) согласно выражению

$$E_X^e = \frac{\hbar^2}{2m_X^e a^2}.$$

Набор коэффициентов в (8) определяется числом слоев, принимаемых во внимание при моделировании структуры. Так, если учитываются спейсерные слои, то для структуры, изображенной на рис. 1, необходимо ввести пять пар промежуточных амплитуд. Метод трансфер-матрицы позволяет связать волновую функцию на одной стороне гетероструктуры (в области коллектора) с волновой функцией на другой стороне (в эмиттере). В свою очередь волновая функция состояния, распространяющаяся через слой, выражается произведением интерфейсной матрицы, определяемой соответствующими граничными условиями, и матрицы, описывающей распространение волны через слой в электрическом поле. Пусть вектор амплитуд в эмиттере выбран как $a = (a_\Gamma, b_\Gamma, a_X, b_X)^T$, тогда вектор амплитуд в коллекторе будет иметь вид $c = (c_\Gamma, 0, c_X, 0)^T$. Записывая решения во внутренних областях в виде (8), во внешних как (3) и (5), а затем используя граничные условия на контактах и на границах спейсер-барьер, мы получим линейную систему уравнений для амплитуд. После исключения промежуточных амплитуд находим

$$\mathcal{K}a = \mathcal{F}c,$$

$$\mathcal{F} = \mathcal{F}_{cs} \mathcal{F}_{sb} \mathcal{F}_{bs} \mathcal{F}_{se}, \quad (10)$$

куда входят матрицы \mathcal{F}_{cs} — области коллектор-спейсер, \mathcal{F}_{sb} — области спейсер-барьер, \mathcal{F}_{bs} — области барьер-спейсер, \mathcal{F}_{se} — области спейсер-эмиттер, которые известным образом выражаются через функции Эйри и

их производные. Были введены также вспомогательные матрицы

$$\mathcal{K} = \begin{pmatrix} 1 & 1 & 0 & 0 \\ -ik_\Gamma & ik_\Gamma & 0 & 0 \\ 0 & 0 & 1 & 1 \\ 0 & 0 & -ik_X & ik_X \end{pmatrix},$$

$$\mathcal{Q} = \begin{pmatrix} 1 & 0 & 0 & 0 \\ -iq_\Gamma & 0 & 0 & 0 \\ 0 & 0 & 1 & 0 \\ 0 & 0 & -iq_X & 0 \end{pmatrix}. \quad (11)$$

Полная матрица барьера \mathcal{T} позволяет получить матрицу прохождения t . Для этого введем матрицу g соотношением

$$g = \begin{pmatrix} g_{\Gamma\Gamma} & g_{\Gamma X} \\ g_{X\Gamma} & g_{XX} \end{pmatrix}, \quad (12)$$

где

$$g_{\Gamma\Gamma} = ik_\Gamma(\mathcal{T}_{11} - iq_\Gamma \mathcal{T}_{12}) - \mathcal{T}_{21} + iq_\Gamma \mathcal{T}_{22}, \quad (13)$$

$$g_{\Gamma X} = ik_\Gamma(\mathcal{T}_{13} - iq_X \mathcal{T}_{14}) - \mathcal{T}_{23} + iq_X \mathcal{T}_{24}, \quad (14)$$

$$g_{X\Gamma} = ik_X(\mathcal{T}_{31} - iq_\Gamma \mathcal{T}_{32}) - \mathcal{T}_{41} + iq_\Gamma \mathcal{T}_{42}, \quad (15)$$

$$g_{XX} = ik_X(\mathcal{T}_{33} - iq_X \mathcal{T}_{34}) - \mathcal{T}_{43} + iq_X \mathcal{T}_{44}. \quad (16)$$

Записывая связь между амплитудами в эмиттере и коллекторе, найдем

$$t = \frac{2i}{(g_{\Gamma\Gamma} g_{XX} - g_{\Gamma X} g_{X\Gamma})} \begin{pmatrix} g_{XX} k_\Gamma & -g_{\Gamma X} k_X \\ -g_{X\Gamma} k_\Gamma & g_{\Gamma\Gamma} k_X \end{pmatrix}. \quad (17)$$

Отметим, что для системы без спейсеров ($D = L$) выражение для матрицы рассеяния может быть упрощено, поскольку в этом случае элементы матрицы g имеют вид

$$g_{\Gamma\Gamma} = -\pi [M_{21}^\Gamma - i\bar{q}_\Gamma M_{22}^\Gamma - i\bar{k}_\Gamma (M_{11}^\Gamma - i\bar{q}_\Gamma M_{12}^\Gamma) + \bar{v}_\Gamma \bar{v}_X M_{12}^X], \quad (18)$$

$$g_{\Gamma X} = -\pi \bar{v}_\Gamma (M_{22}^\Gamma - i\bar{k}_\Gamma M_{11}^\Gamma + M_{11}^X - i\bar{q}_X M_{12}^X), \quad (19)$$

$$g_{XX} = -\pi [M_{21}^X - i\bar{q}_X M_{22}^X - i\bar{k}_X (M_{11}^X - i\bar{q}_X M_{12}^X) + \bar{v}_\Gamma \bar{v}_X M_{12}^\Gamma], \quad (20)$$

$$g_{X\Gamma} = -\pi \bar{v}_X (M_{22}^X - i\bar{k}_X M_{12}^X M_{11}^\Gamma - i\bar{q}_\Gamma M_{12}^\Gamma), \quad (21)$$

где

$$\bar{k}_\Gamma = \frac{\mu_\Gamma^e}{\mu_X^e} (k_\Gamma a) (\alpha_\Gamma^I)^{-1/3}, \quad \bar{k}_X = \frac{\mu_X^e}{\mu_\Gamma^e} (k_X a) (\alpha_X^I)^{-1/3},$$

$$\bar{q}_\Gamma = \frac{\mu_\Gamma^e}{\mu_\Gamma^I} (q_\Gamma a) (\alpha_\Gamma^I)^{-1/3}, \quad \bar{q}_X = \frac{\mu_X^e}{\mu_X^I} (q_X a) (\alpha_X^I)^{-1/3},$$

$$\bar{v}_\Gamma = \frac{va}{\mu_\Gamma^I} (\alpha_\Gamma^I)^{-1/3}, \quad \bar{v}_X = \frac{va}{\mu_X^I} (\alpha_X^I)^{-1/3}.$$

Мы ввели здесь матрицы $M^{\Gamma,X}$, определяемые функциями Эйри и их производными,

$$\begin{aligned}
 M_{11}^{\Gamma,X} &= \text{Ai} \left[-\xi_{\Gamma}^I \left(-\frac{L}{2a} \right) \right] \text{Bi}' \left[-\xi_{\Gamma}^I \left(\frac{L}{2a} \right) \right] \\
 &\quad - \text{Bi} \left[-\xi_{\Gamma}^I \left(-\frac{L}{2a} \right) \right] \text{Ai}' \left[-\xi_{\Gamma}^I \left(\frac{L}{2a} \right) \right], \\
 M_{12}^{\Gamma,X} &= \text{Ai} \left[-\xi_{\Gamma}^I \left(-\frac{L}{2a} \right) \right] \text{Bi} \left[-\xi_{\Gamma}^I \left(\frac{L}{2a} \right) \right] \\
 &\quad - \text{Bi} \left[-\xi_{\Gamma}^I \left(-\frac{L}{2a} \right) \right] \text{Ai} \left[-\xi_{\Gamma}^I \left(\frac{L}{2a} \right) \right], \\
 M_{21}^{\Gamma,X} &= \text{Ai}' \left[-\xi_{\Gamma}^I \left(-\frac{L}{2a} \right) \right] \text{Bi}' \left[-\xi_{\Gamma}^I \left(\frac{L}{2a} \right) \right] \\
 &\quad - \text{Bi}' \left[-\xi_{\Gamma}^I \left(-\frac{L}{2a} \right) \right] \text{Ai}' \left[-\xi_{\Gamma}^I \left(\frac{L}{2a} \right) \right], \\
 M_{22}^{\Gamma,X} &= \text{Ai} \left[-\xi_{\Gamma}^I \left(-\frac{L}{2a} \right) \right] \text{Bi}' \left[-\xi_{\Gamma}^I \left(\frac{L}{2a} \right) \right] \\
 &\quad - \text{Bi} \left[-\xi_{\Gamma}^I \left(-\frac{L}{2a} \right) \right] \text{Ai}' \left[-\xi_{\Gamma}^I \left(\frac{L}{2a} \right) \right]. \quad (22)
 \end{aligned}$$

Таким образом, конкретный расчет прозрачности сводится к нахождению матриц слоев, а затем получению прозрачности структуры согласно (17).

3. Движение резонансов Фано и Брейта–Вигнера в электрическом поле

Представим сначала качественный анализ, позволяющий понять поведение резонансной структуры прозрачности в электрическом поле. Рассмотрим барьер без спейсеров. Пусть содержание Al в барьере таково, что $E_{\Gamma}^I > E_X^e$ ($x > 0.63$, см. рис. 1, *b*). В отсутствие электрического поля интерференция распространяющегося Γ -состояния с локализованным состоянием X -ямы приводит к возникновению резонансов Фано [5–7,12]. Исследуем нули и полюсы амплитуды рассеяния в канале Γ – Γ :

$$t_{\Gamma}(E) = \frac{2ig_{XX}(E)k_{\Gamma}}{\{g_{XX}(E) - g_{X\Gamma}(E) [1/g_{\Gamma\Gamma}(E)] g_{\Gamma X}(E)\} g_{\Gamma\Gamma}(E)}. \quad (23)$$

Как следует из (23), нули определяются выражением $g_{XX}(E) = 0$. Из (20) видно, что в слабом поле уравнение $g_{XX}(E) = 0$ имеет действительное решение. Пусть одно из решений этого уравнения есть E_0 ; оно связано с уровнем в X -яме. Нетрудно понять, что в электрическом поле уровень будет двигаться в соответствии с изменением

формы X -ямы. Пусть энергия электрона и параметры ямы таковы, что $\bar{k}_X \gg 1$ и $\bar{q}_X \gg 1$, а параметр связи $\bar{v}_X \ll 1$. При этом в выражении для g_{XX} можно оставить слагаемое с M_{12}^X , и нуль амплитуды рассеяния (уровень в яме) будет приближенно определяться выражением

$$\begin{aligned}
 M_{12}^X &= \text{Ai} \left[-\xi_X^I \left(-\frac{L}{2a} \right) \right] \text{Bi} \left[-\xi_X^I \left(\frac{L}{2a} \right) \right] \\
 &\quad - \text{Bi} \left[-\xi_X^I \left(-\frac{L}{2a} \right) \right] \text{Ai} \left[-\xi_X^I \left(\frac{L}{2a} \right) \right] = 0. \quad (24)
 \end{aligned}$$

Из (8) следует, что такая комбинация функций Эйри соответствует условию существования уровня в яме с бесконечно высокими стенками в электрическом поле. Очевидно, что отброшенные слагаемые учитывают конечность высоты стенок и малое взаимодействие состояний в яме с Γ -долиной. Они качественно не меняют картину движения уровня, следовательно, и движения нуля резонанса Фано в электрическом поле. Поскольку параметр Γ – X -связи мал, то и полюс, определяемый выражением $g_{XX}(E) - g_{X\Gamma}(E)g_{\Gamma X}(E)/g_{\Gamma\Gamma}(E) = 0$, будет находиться близко от E_0 в комплексной плоскости; обозначим такое решение как $\tilde{E} = E_f - i\Gamma_f$. Отметим, что решение уравнения $g_{\Gamma\Gamma}(E) = 0$ будет находиться далеко в комплексной плоскости, поскольку оно связано с надбарьерной интерференцией в Γ -канале. Следовательно, вблизи виртуального уровня амплитуда перехода Γ – Γ имеет вид

$$t_{\Gamma}(E) \propto \frac{E - E_0}{E - E_f + i\Gamma_f}. \quad (25)$$

Таким образом, нуль и полюс амплитуды рассеяния (резонанс Фано) движутся в электрическом поле. Поскольку вероятности отражения от границ ямы в поле меняются, высота пика прохождения будет уменьшаться.

Обсудим теперь те изменения, которые возможны при составах твердого раствора (содержании Al) в барьере, когда $E_{\Gamma}^I < E_X^e$ ($x < 0.63$, см. рис. 1, *a*). Легко видеть, что структура резонансов Фано не может претерпеть существенных изменений, поскольку они связаны с X -ямой, которая по-прежнему существует в данной системе. Однако если барьер достаточно широкий, то надбарьерные резонансы Брейта–Вигнера, возникающие при интерференции волн в Γ -долине, могут существенно повлиять на характер туннелирования. Как известно, такие резонансы будут достаточно узкими, если амплитуда отражения от краев барьера близка к единице. Чтобы найти положение резонансов в отсутствие электрического поля, полагают, что они соответствуют уровням бесконечно глубокой ямы, а их ширины определяются распадом данных уровней [17]. Пусть энергия электрона и параметры барьера таковы, что $\bar{k}_{\Gamma} \gg 1$ и $\bar{q}_{\Gamma} \gg 1$, а параметр связи $\bar{v}_{\Gamma} \ll 1$. Положение резонанса Брейта–Вигнера можно

определить приближенно условием

$$M_{12}^{\Gamma} = \text{Ai} \left[-\xi_{\Gamma}^l \left(-\frac{L}{2a} \right) \right] \text{Bi} \left[-\xi_{\Gamma}^l \left(\frac{L}{2a} \right) \right] - \text{Bi} \left[-\xi_{\Gamma}^l \left(-\frac{L}{2a} \right) \right] \text{Ai} \left[-\xi_{\Gamma}^l \left(\frac{L}{2a} \right) \right] = 0. \quad (26)$$

В этом случае резонансы движутся в электрическом поле в соответствии с (26). Поскольку барьер становится несимметричным, вероятности туннелирования также будут различаться, а ширины резонансов будут увеличиваться с ростом смещения.

Как следует из сказанного выше, уровень в X -яме и виртуальный уровень над Γ -барьером определяются различными параметрами. Следовательно, при изменении, например, ширины барьера или электрического поля возможно пересечение этих уровней. Интересная ситуация возникает, когда резонанс Брейта–Вигнера может подойти близко к резонансу Фано. Как было показано в [12], в отсутствие электрического поля может произойти коллапс резонанса Фано.

Представим теперь некоторые численные результаты, демонстрирующие эффекты Γ - X -смешивания при туннелировании в электрическом поле. Для получения результатов были использованы известные зависимости параметров материала $\text{Al}_x\text{Ga}_{1-x}\text{As}$ от состава [16]. Прозрачность барьера AlAs $T_{\Gamma\Gamma}$ как функция энергии E изображена на рис. 2 для случая, когда $x = 1$, а толщина

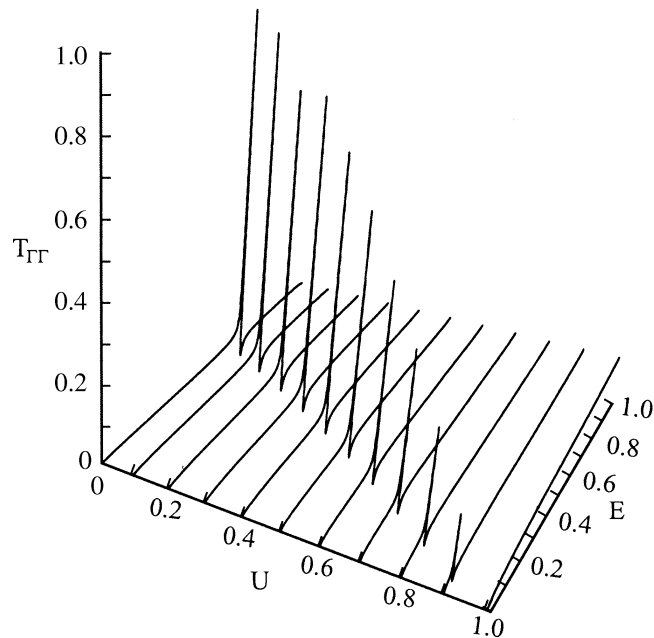


Рис. 2. Зависимость резонансной прозрачности $T_{\Gamma\Gamma}$ гетеробарьера AlAs от энергии E при различных смещениях U на барьере. При выбранной толщине барьера $L = 1.13$ нм имеется только одно квазисвязанное состояние в X -яме. Изменение формы X -ямы в поле приводит к движению резонанса Фано. В качестве единицы энергии выбрана $E^* = E_X^e$, в качестве единицы напряжения используется $U^* = E_X^e/e$.

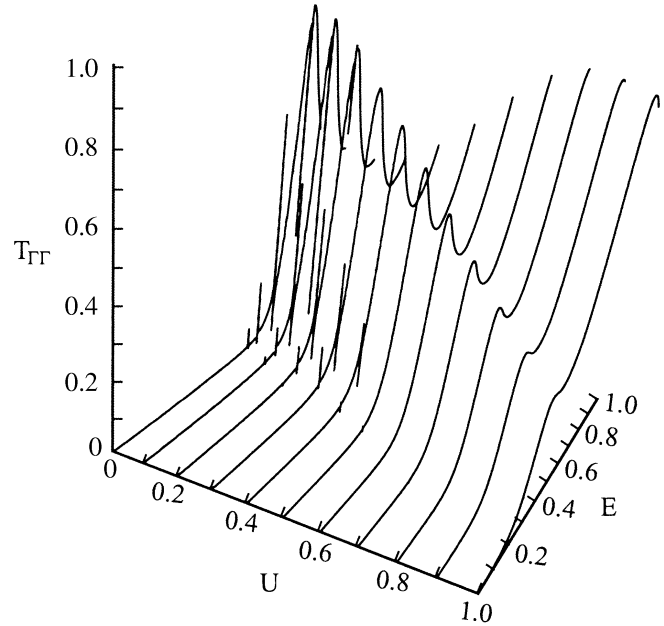


Рис. 3. Зависимость прозрачности $T_{\Gamma\Gamma}$ гетеробарьера $\text{Al}_x\text{Ga}_{1-x}\text{As}$ ($x = 0.35$) от энергии E при различных смещениях U на барьере. При толщине барьера $L = 6.22$ нм в отсутствие смещения в яме имеется 4 квазисвязанных состояния в X -яме, которые приводят к возникновению 4 резонансов Фано. Резонансы Фано и Брейта–Вигнера движутся и сталкиваются в электрическом поле.

барьера $L = 1.13$ нм (в качестве единицы измерения выбрана энергия $E^* = E_X^e$). При этом в яме имеется один уровень, который приводит к возникновению резонанса Фано в прозрачности. Из рис. 2 видно, что в электрическом поле резонанс движется, а его амплитуда падает. В сильном поле, когда X -уровень попадает в непрерывный спектр, нуль амплитуды прохождения уходит в комплексную плоскость. Теперь рассмотрим случай, когда $x < 0.63$. Здесь мы хотим продемонстрировать поведение резонансов для широких барьеров, чтобы была возможность столкновения резонансов Фано и Брейта–Вигнера. Результаты расчетов представлены на рис. 3 для барьера шириной $L = 6.22$ нм. Поскольку резонансы Брейта–Вигнера связаны с виртуальными уровнями Γ -барьера, а резонансы Фано с уровнями X -ямы, то при приложении смещения эти уровни могут пересекаться. Как следует из рис. 3, резонансы Брейта–Вигнера при определенных смещениях сталкиваются с резонансами Фано. Результатом столкновения будет резкое сужение ширин резонансов Фано, что может сказаться на ВАХ барьера.

4. Туннельный ток

Метод вычисления туннельного тока при известной прозрачности в случае однозонной модели развит в работах [18,19]. Проводя обобщение на случай двухдолин-

ной системы, необходимо учесть возможные переходы в X -долину при приложении смещения U к барьеру. Необходимо также принять во внимание закон сохранения продольной компоненты импульса \mathbf{q}_{\parallel} . Результирующее выражение для плотности тока принимает вид

$$J = \frac{2e}{\hbar} \int dE \{f(E) - f(E + eU)\} \int \frac{d\mathbf{q}_{\parallel}}{(2\pi)^2} T(E, \mathbf{q}_{\parallel}), \quad (27)$$

где $f(E)$ — функция Ферми–Дирака, а полная прозрачность барьера определяется выражением

$$T(E, \mathbf{q}_{\parallel}) = (q_{\Gamma}/k_{\Gamma}) \left| t_{\Gamma\Gamma} \left(E - \frac{\hbar^2 \mathbf{q}_{\parallel}^2}{2m_{\Gamma}^e} \right) \right|^2 + (q_X/k_{\Gamma} + k_{\Gamma}/q_X) \left| t_{X\Gamma} \left(E - \frac{\hbar^2 \mathbf{q}_{\parallel}^2}{2m_{\Gamma}^e}, E - \frac{\hbar^2 \mathbf{q}_{\parallel}^2}{2m_X^e} \right) \right|^2. \quad (28)$$

Отметим, что продольные (по полю) импульсы k_{Γ} и q_X также зависят от поперечных энергий соответственно в Γ - и X -долинах. Из структуры выражения (28) видно, что второе слагаемое, описывающее переход Γ – X , дает малый вклад в полную прозрачность, поскольку оно $\propto v^2$. Чтобы упростить вычисления тока, мы пренебрежем в этом слагаемом различием эффективных масс. В этом случае второе слагаемое будет зависеть только от комбинации $E - \hbar^2 \mathbf{q}_{\parallel}^2 / 2m_{\Gamma}^e$ и в выражении для тока можно провести интегрирование по продольной компоненте импульса \mathbf{q}_{\parallel} в явном виде. Выполнив интегрирование и полагая, что температура мала, получим удобное для расчета выражение, содержащее только однократное интегрирование по энергии,

$$J = \frac{em_{\Gamma}^e}{2\pi^2 \hbar^3} \int_0^{E_F} T(E_{\perp})(E_F - E_{\perp}) dE_{\perp}, \quad eU \geq E_F, \\ J = \frac{em_{\Gamma}^e}{2\pi^2 \hbar^3} \left[U \int_0^{E_F - eU} T(E_{\perp}) dE_{\perp} + \int_{E_F - eU}^{E_F} T(E_{\perp})(E_F - E_{\perp}) dE_{\perp} \right], \quad eU < E_F. \quad (29)$$

Выражение (29) использовалось для вычисления туннельного тока.

Для конкретного расчета тока положим, что концентрация доноров $N_D = 10^{18} \text{ см}^{-3}$ в контактных областях (соответствующая энергия Ферми $E_F \approx 50 \text{ мэВ}$). Полученная в случае $x = 1$ для барьера шириной $L = 1.13 \text{ нм}$ ВАХ и дифференциальная нелинейная проводимость $G \equiv dJ/dU$ приведены на рис. 4, *a* и *b*. Резонанс Фано дает характерный пик на дифференциальной проводимости при $U \doteq 0.94E_X^e/e$. Чтобы пояснить это свойство, рассмотрим поведение ВАХ и дифференциальной проводимости аналогично тому, как это делается в

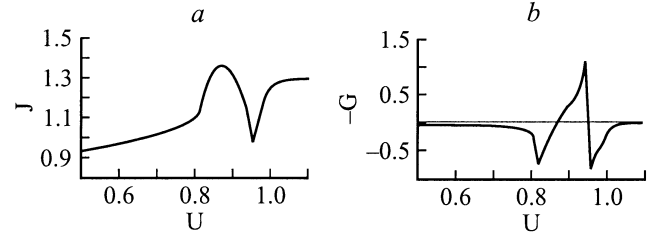


Рис. 4. Вольт-амперная характеристика $J(U)$ (*a*) и дифференциальная проводимость G (взятая с обратным знаком) барьера как функция смещения U (*b*). Пик резонанса Фано проходит уровень Ферми при $U = 0.94U^*$, а нуль при $U = 0.96U^*$. В качестве единиц измерения U , J и G выбраны: $U^* = E_X^e/e$, $J^* = 10^{-4} em_{\Gamma}^e (E_X^e)^2 / (2\pi^2 \hbar^3)$ и $G^* = 10^{-3} e^2 m_{\Gamma}^e E_X^e / (2\pi^2 \hbar^3)$.

случае двухбарьерной структуры [17]. В нашем случае уровни в X -яме эффективно связаны с распространяющимися состояниями Γ -долины матричным элементом Γ – X -смешивания. Поскольку они малы, резонанс Фано хорошо выражен. Подобно случаю двухбарьерной структуры будем считать, что падение напряжения в основном происходит на спейсерных слоях, а внутри барьера потенциал постоянен. Тогда прозрачность для перехода $\Gamma \rightarrow \Gamma$ может быть записана в виде

$$T_{\Gamma\Gamma} = (q_{\Gamma}/k_{\Gamma}) |t_{\Gamma\Gamma}|^2 \Theta(E_F + eU/2 - E_{\Gamma}^I). \quad (30)$$

Подставляя (30) в (27) и дифференцируя по смещению, мы получаем, что в выражении для тока имеется резонансное слагаемое

$$dJ/dU \propto -T_{\Gamma\Gamma}(E_F + eU/2 - E_{\Gamma}^I) + \dots, \quad (31)$$

где остальные слагаемые определяют нерезонансный (фоновый) вклад. Это означает, что имеется вклад в дифференциальную проводимость, который пропорционален пику в прозрачности. Таким образом, дифференциальная проводимость позволяет определить форму резонанса. Аналогичные результаты имеют место и при $x < 0.63$, когда возможно столкновение резонансов Брейта–Вигнера и Фано.

5. Заключение

Мы изучили туннелирование электронов в гетеробарьерах на основе полупроводников со сложным законом дисперсии и исследовали эффекты когерентного туннелирования через гетероструктуру GaAs/Ga_{1-x}Al_xAs/GaAs в сильном электрическом поле. Используя уравнения для огибающих и принимая во внимание эффекты Γ – X -смешивания на гетерограницах, мы исследовали движение резонансов Фано в зависимости от приложенного к барьерной структуре смещения. Показано, что эффекты Γ – X -интерференции играют важную роль в формировании асимметричных резонансов. При этом движение полюса и нуля в поле

и их исчезновение определяются параметрами X -ямы. Структура резонансов существенно зависит также от параметра Γ - X -смешивания. В работе показано, что дифференциальная проводимость содержит информацию о характеристиках резонансов. Эта информация может быть извлечена при исследовании нелинейной дифференциальной проводимости.

Авторы благодарят Е.В. Демидова, Ю.В. Дубровского и Д.О. Филатова за полезные замечания и обсуждение результатов работы.

Работа поддержана грантом РФФИ (№ 01-02-16569). Один из авторов (Ч.С. Ким) благодарит Korean Research Foundation за поддержку.

Список литературы

- [1] H.C. Liu. Appl. Phys. Lett., **51**, 1019 (1987).
- [2] D.Y.K. Ko, J.C. Inkson. Semicond. Sci. Technol., **3**, 791 (1988).
- [3] T. Ando, H. Akera. Phys. Rev. B, **40**, 11 609 (1989).
- [4] E.E. Mendez, W.I. Wang, E. Calleja, C.E.T. Goncalves da Silva. Appl. Phys. Lett., **50**, 1283 (1987).
- [5] T.B. Boykin, J.S. Harris. J. Appl. Phys., **72**, 988 (1992).
- [6] Y. Fu, M. Willander, E.L. Ivchenko, A.A. Kiselev. Phys. Rev. B, **47**, 13 498 (1993).
- [7] R.C. Bowen, W.R. Frensley, G. Klimeck, R.K. Lake. Phys. Rev. B, **52**, 2754 (1995).
- [8] R.J. Teissier, J.J. Finley, M.S. Skolnick, J.W. Cockburn, J.-L. Pelouard, R. Grey, G. Hill, M.A. Pate, R. Planel. Phys. Rev. B, **54**, R8329 (1996).
- [9] J.J. Finley, R.J. Teissier, M.S. Skolnick, J.W. Cockburn, G.A. Roberts, R. Grey, G. Hill, M.A. Pate, R. Planel. Phys. Rev. B, **58**, 10 619 (1998).
- [10] E.E. Mendez, E. Calleja, C.E.T. Goncalves da Silva, L.L. Chang, W.I. Wang. Phys. Rev. B, **33**, 7368 (1986).
- [11] U. Fano. Phys. Rev., **104**, 1866 (1961).
- [12] Ч.С. Ким, А.М. Сатанин, В.Б. Штенберг. ЖЭТФ, **118**, 413 (2000).
- [13] C.S. Kim, A.M. Satanin, Y.S. Joe, R.M. Cosby. Phys. Rev. B, **60**, 10 962 (1999).
- [14] Ч.С. Ким, А.М. Сатанин. ЖЭТФ, **115**, 211 (1999).
- [15] Л.Д. Ландау, Е.М. Лифшиц. *Квантовая механика. Нерелятивистская теория* (М., Наука, 1989).
- [16] S. Adachi. J. Appl. Phys., **58**, R1 (1985).
- [17] А.С. Тагер. Электрон. техн. Электроника СВЧ, вып. 9 (403), 21 (1987).
- [18] К.Б. Дюк. В сб.: *Туннелирование в твердых телах* (М., Мир, 1973) с. 36.
- [19] R.Tsu, L. Esaki. Appl. Phys. Lett., **22**, 562 (1973).

Редактор Л.В. Шаронова

Resonant tunneling and nonlinear current in heterobarrriers with complex dispersion of carriers

C.S. Kim[†], A.M. Satanin, V.B. Shtenberg

Nizhny Novgorod State University,
603600 Nizhny Novgorod, Russia

[†]Applied Physics, Yale University, New Haven,
Connecticut 06520-8284, USA

Abstract We study novel effects in resonant tunneling of electrons in GaAs/Al_xGa_{1-x}As/GaAs single-barrier structures under an applied electric bias. Γ - X mixing of electron states at the interfaces is responsible for Fano resonance in the transmission. A motion of resonances Fano and the interplay between Fano and Breit-Wigner resonances in electric field have been investigated. The current-voltage characteristic of the heterobarrier is calculated. It is shown that the differential conductivity presents a way to get the Fano resonance profile and the parameters of the resonance.